

Численное моделирование движения тела-точки в кулоновском поле отталкивания

Выполнил: Чеботин А.А., студент гр. 5030103/90301
Руководитель: Иванова Е.А., д.ф.-м.н., проф. ВШТМиМФ

27 июня 2023 г.

- Движение тела-точки определяется дифференциальными уравнениями, которые *не имеют* аналитического решения, для её изучения движения требуются численные методы
- Численные методы *не обязательно* хорошо сохраняют инварианты системы. Например, энергию.
- Возмущения, вносимые численными схемами, могут быть *значительными*.
- Целесообразно применение методов, которые хорошо сохраняют инварианты системы. К таким относятся **симплектические интеграторы**.

- Разработка пакета программ для численного интегрирования уравнений движения тела-точки.
- Построение симплектических интеграторов высоких порядков.
- Сравнение методов.

А также

- Реализация анимации трёхмерного движения тела-точки
- Рекомендации и выводы по использованию методов интегрирования уравнений движения тела-точки

Постановка задачи

Будем рассматривать модель тела-точки, введенной в рассмотрение П.А. Жилиным, кинетическая энергия которой задается выражением

$$K = \frac{1}{2} m \underline{v} \cdot \underline{v} + B \underline{v} \cdot \underline{\omega} + \frac{1}{2} J \underline{\omega} \cdot \underline{\omega}$$

Количество движения \underline{K}_1 и собственный кинетический момент \underline{K}_2 :

$$\underline{K}_1 = \frac{\partial K}{\partial \underline{v}} = m \underline{v} + B \underline{\omega}$$

$$\underline{K}_2 = \frac{\partial K}{\partial \underline{\omega}} = B \underline{v} + J \underline{\omega}$$

Замкнутая система уравнений движения тела-точки:

$$m \underline{\dot{v}} + B \underline{\dot{\omega}} = -\frac{A}{R^3} \underline{R}$$

$$B \underline{\dot{v}} + J \underline{\dot{\omega}} = B \underline{\omega} \times \underline{\dot{R}}$$

$$\underline{\dot{R}} = \underline{v}$$

Н.У.:

$$\underline{R}(0) = \underline{R}_0, \quad \underline{v}(0) = \underline{v}_0, \quad \underline{\omega}(0) = \underline{\omega}_0$$

Начальные условия

Введем 2 параметра:

- d - прицельное расстояние
- L - расстояние между начальным положением налетающей частицы и кулоновским центром

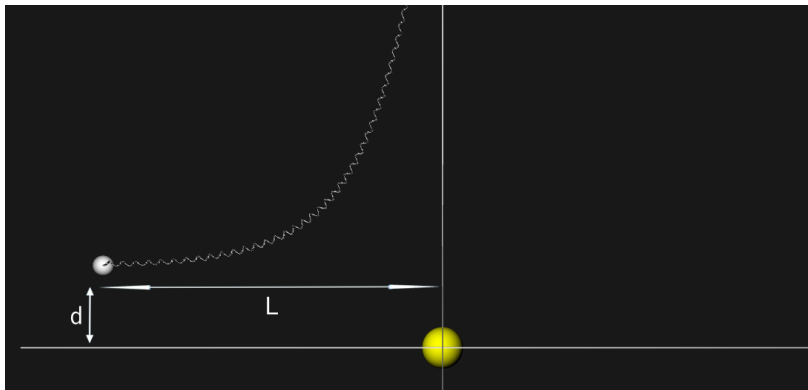


Рис 1. Подлёт тела-точки вблизи кулоновского центра на прицельном расстоянии d .

Подходы к решению задачи

- Подход с применением традиционных численных схем
- Подход с применением симплектических интеграторов.

Будут рассмотрены следующие численные схемы порядка n :

- Runge-Kutta ($n = 4$)
- Adams-Bashforth ($n = 4$)
- Semi-implicit Euler ($n = 1$)
- Verlet method ($n = 2$)
- Symplectic integrator ($n = 3$)
- Symplectic integrator ($n = 4$)
- Symplectic integrator ($n = 6$)

Последние 5 методов являются симплектическими.

Численная схема Рунге-Кутты (1/2)

$$(mJ - B^2) \underline{K}_{1v} = -\frac{AJ}{R_{i-1}^3} R_{i-1} - B^2 \underline{\omega}_{i-1} \times \underline{v}_{i-1}$$

$$(mJ - B^2) \underline{K}_{1\omega} = -\frac{AB}{R_{i-1}^3} R_{i-1} - mB \underline{\omega}_{i-1} \times \underline{v}_{i-1}$$

$$\underline{K}_{1r} = \underline{v}_{i-1}$$

$$(mJ - B^2) \underline{K}_{2v} = -\frac{AJ}{\left[R_{i-1} + \frac{h}{2} \underline{K}_{1r}\right]^3} \left(R_{i-1} + \frac{h}{2} \underline{K}_{1r}\right) - B^2 \left(\underline{\omega}_{i-1} + \frac{h}{2} \underline{K}_{1\omega}\right) \times \left(\underline{v}_{i-1} + \frac{h}{2} \underline{K}_{1v}\right)$$

$$(mJ - B^2) \underline{K}_{2\omega} = -\frac{AB}{\left[R_{i-1} + \frac{h}{2} \underline{K}_{1r}\right]^3} \left(R_{i-1} + \frac{h}{2} \underline{K}_{1r}\right) - mB \left(\underline{\omega}_{i-1} + \frac{h}{2} \underline{K}_{1\omega}\right) \times \left(\underline{v}_{i-1} + \frac{h}{2} \underline{K}_{1v}\right)$$

$$\underline{K}_{2r} = \underline{v}_{i-1} + \frac{h}{2} \underline{K}_{1r}$$

$$(mJ - B^2) \underline{K}_{3v} = -\frac{AJ}{\left[R_{i-1} + \frac{h}{2} \underline{K}_{2r}\right]^3} \left(R_{i-1} + \frac{h}{2} \underline{K}_{2r}\right) - B^2 \left(\underline{\omega}_{i-1} + \frac{h}{2} \underline{K}_{2\omega}\right) \times \left(\underline{v}_{i-1} + \frac{h}{2} \underline{K}_{2v}\right)$$

Численная схема Рунге-Кутты (2/2)

$$(mJ - B^2) \underline{K}_{3\omega} = -\frac{AB}{\left[R_{i-1} + \frac{h}{2}K_{2r}\right]^3} \left(\underline{R}_{i-1} + \frac{h}{2}K_{2r}\right) - mB \left(\underline{\omega}_{i-1} + \frac{h}{2}K_{2\omega}\right) \times \left(\underline{v}_{i-1} + \frac{h}{2}K_{2v}\right)$$

$$\underline{K}_{3r} = \underline{v}_{i-1} + \frac{h}{2}K_{2r}$$

$$(mJ - B^2) \underline{K}_{4v} = -\frac{AJ}{\left[R_{i-1} + hK_{3r}\right]^3} \left(\underline{R}_{i-1} + hK_{3r}\right) - B^2 \left(\underline{\omega}_{i-1} + hK_{3\omega}\right) \times \left(\underline{v}_{i-1} + hK_{3v}\right)$$

$$(mJ - B^2) \underline{K}_{4\omega} = -\frac{AB}{\left[R_{i-1} + hK_{3r}\right]^3} \left(\underline{R}_{i-1} + hK_{3r}\right) - mB \left(\underline{\omega}_{i-1} + hK_{3\omega}\right) \times \left(\underline{v}_{i-1} + hK_{3v}\right)$$

$$\underline{K}_{4r} = \underline{v}_{i-1} + hK_{3r}$$

$$\underline{v}_i = \underline{v}_{i-1} + \frac{h}{6} (\underline{K}_{1v} + 2\underline{K}_{2v} + 2\underline{K}_{3v} + \underline{K}_{4v})$$

$$\underline{\omega}_i = \underline{\omega}_{i-1} + \frac{h}{6} (\underline{K}_{1\omega} + 2\underline{K}_{2\omega} + 2\underline{K}_{3\omega} + \underline{K}_{4\omega})$$

$$\underline{R}_i = \underline{R}_{i-1} + \frac{h}{6} (\underline{K}_{1r} + 2\underline{K}_{2r} + 2\underline{K}_{3r} + \underline{K}_{4r})$$

Численная схема Адамса-Башфорта

$$\begin{aligned} \underline{v}_i = \underline{v}_{i-1} + \frac{h}{24} \frac{1}{(mJ - B^2)} & \left(-55 \left[\frac{AJ}{R_{i-1}^3} \underline{R}_{i-1} + B^2 \underline{\omega}_{i-1} \times \underline{v}_{i-1} \right] + \right. \\ & + 59 \left[\frac{AJ}{R_{i-2}^3} \underline{R}_{i-2} + B^2 \underline{\omega}_{i-2} \times \underline{v}_{i-2} \right] - 37 \left[\frac{AJ}{R_{i-3}^3} \underline{R}_{i-3} + B^2 \underline{\omega}_{i-3} \times \underline{v}_{i-3} \right] + \\ & \left. + 9 \left[\frac{AJ}{R_{i-4}^3} \underline{R}_{i-4} + B^2 \underline{\omega}_{i-4} \times \underline{v}_{i-4} \right] \right) \end{aligned}$$

$$\begin{aligned} \underline{\omega}_i = \underline{\omega}_{i-1} + \frac{h}{24} \frac{1}{(mJ - B^2)} & \left(-55 \left[\frac{AB}{R_{i-1}^3} \underline{R}_{i-1} + mB \underline{\omega}_{i-1} \times \underline{v}_{i-1} \right] + \right. \\ & + 59 \left[\frac{AB}{R_{i-2}^3} \underline{R}_{i-2} + mB \underline{\omega}_{i-2} \times \underline{v}_{i-2} \right] - 37 \left[\frac{AB}{R_{i-3}^3} \underline{R}_{i-3} + mB \underline{\omega}_{i-3} \times \underline{v}_{i-3} \right] + \\ & \left. + 9 \left[\frac{AB}{R_{i-4}^3} \underline{R}_{i-4} + mB \underline{\omega}_{i-4} \times \underline{v}_{i-4} \right] \right) \end{aligned}$$

$$\underline{R}_i = \underline{R}_{i-1} + \frac{h}{24} \left(55 \underline{v}_{i-1} - 59 \underline{v}_{i-2} + 37 \underline{v}_{i-3} - 9 \underline{v}_{i-4} \right)$$

Схема симплектического интегратора порядка n

$$\underline{R}_{i-1}^{(1)} = \underline{R}_{i-1} + C_1 \underline{v}_{i-1} h$$

$$\underline{v}_{i-1}^{(1)} = \underline{v}_{i-1} - D_1 \frac{1}{(mJ - B^2)} \left[\frac{AJ}{(R_{i-1}^{(1)})^3} \underline{R}_{i-1}^{(1)} - B^2 \underline{\omega}_{i-1} \times \underline{v}_{i-1} \right] h$$

$$\underline{\omega}_{i-1}^{(1)} = \underline{\omega}_{i-1} - D_1 \frac{1}{(mJ - B^2)} \left[\frac{AB}{(R_{i-1}^{(1)})^3} \underline{R}_{i-1}^{(1)} + mB \underline{\omega}_{i-1} \times \underline{v}_{i-1} \right] h$$

... ..

$$\underline{R}_{i-1}^{(k-1)} = \underline{R}_{i-1}^{(k-2)} + C_{k-1} \underline{v}_{i-1}^{(k-2)} h$$

$$\underline{v}_{i-1}^{(k-1)} = \underline{v}_{i-1}^{(k-2)} - D_{k-1} \frac{1}{(mJ - B^2)} \left[\frac{AJ}{(R_{i-1}^{(k-1)})^3} \underline{R}_{i-1}^{(k-1)} - B^2 \underline{\omega}_{i-1} \times \underline{v}_{i-1} \right] h$$

$$\underline{\omega}_{i-1}^{(k-1)} = \underline{\omega}_{i-1}^{(k-2)} - D_{k-1} \frac{1}{(mJ - B^2)} \left[\frac{AB}{(R_{i-1}^{(k-1)})^3} \underline{R}_{i-1}^{(k-1)} + mB \underline{\omega}_{i-1} \times \underline{v}_{i-1} \right] h$$

$$\underline{R}_i = \underline{R}_{i-1}^{(k)} = \underline{R}_{i-1}^{(k-1)} + c_k \underline{v}_{i-1}^{(k-1)} h$$

$$\underline{v}_i = \underline{v}_{i-1}^{(k)} = \underline{v}_{i-1}^{(k-1)}$$

$$\underline{\omega}_i = \underline{\omega}_{i-1}^{(k)} = \underline{\omega}_{i-1}^{(k-1)}$$

Сравнение подходов. Отклонение энергии при изменении расстояния L

Сравним численные схемы на **относительное отклонение энергии от среднего значения**. Будем менять параметр L .

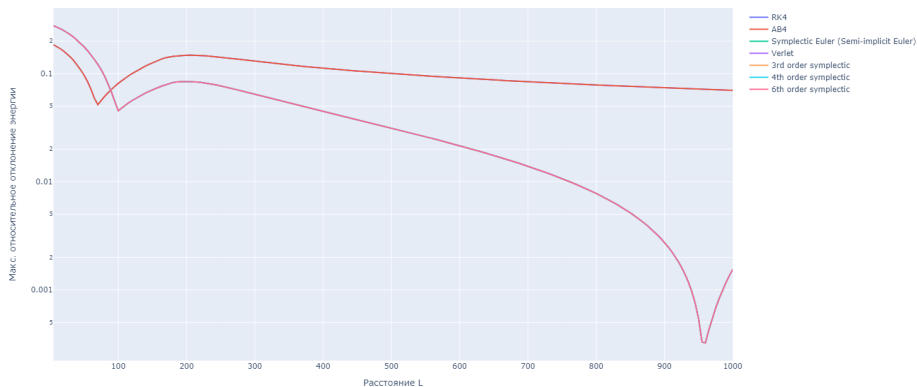


Рис 2. Зависимость относительного отклонения энергии от первоначального значения от расстояния L .

Сравнение подходов. Отклонение энергии при изменении расстояния L

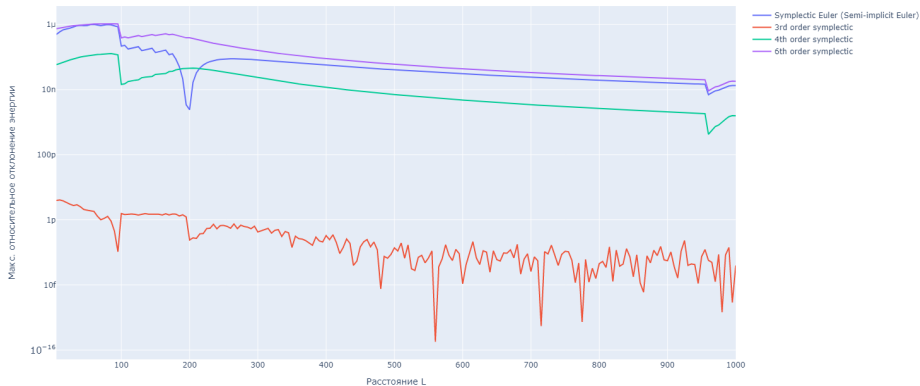


Рис 3. Зависимость относительного отклонения энергии от первоначального значения от расстояния L .

Сравнение подходов. Отклонение энергии при изменении расстояния L .

Вывод

- Чем ближе тело-точка к силовому центру, тем большее отклонение энергии даёт любая численная схема.
- Симплектические методы дают лучшие результаты, но
- При близких проходах, традиционные методы работают точнее.

Рекомендация

- Разработка универсального численного метода с переменным шагом интегрирования, который при близких проходах будет автоматически уменьшать шаг h .

Сравнение подходов. Отклонение энергии при изменении шага h

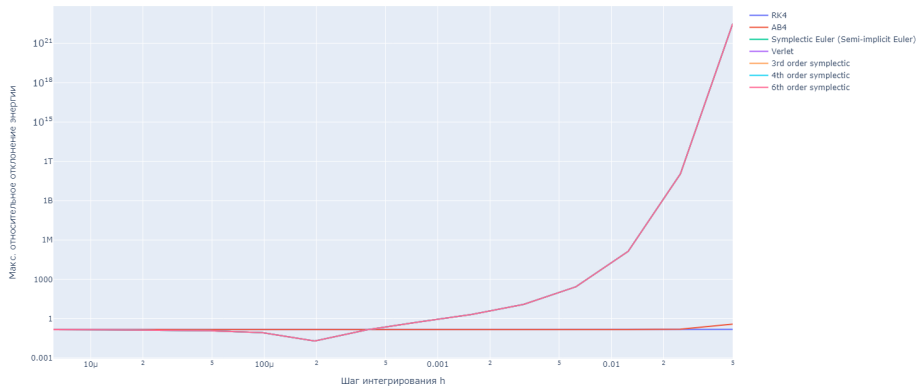


Рис 4. Зависимость максимального относительного отклонения энергии от первоначального значения при изменении шага интегрирования h

Сравнение подходов. Отклонение энергии при изменении шага h

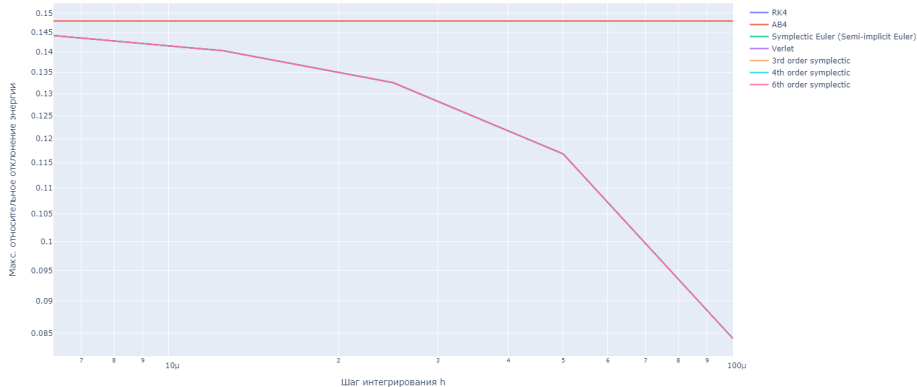


Рис 5. Зависимость максимального относительного отклонения энергии от первоначального значения при малых шагах интегрирования h

Сравнение подходов. Отклонение энергии при изменении шага h

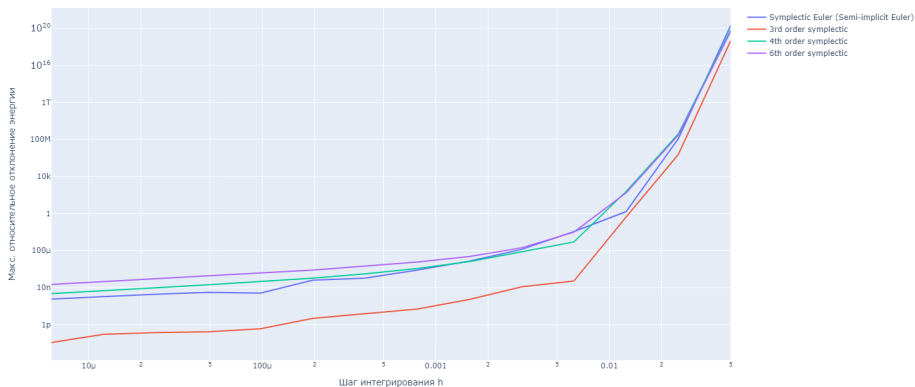


Рис 6. Зависимость максимального относительного отклонения энергии от первоначального значения при изменении шага интегрирования h для симплектических методов

Сравнение подходов. Время решения задачи в зависимости от количества точек n

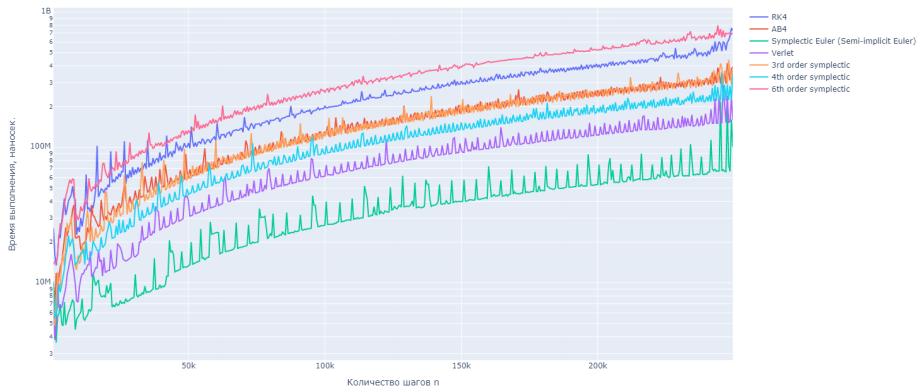


Рис 7. Зависимость времени решения системы уравнений движения тела-точки от количества шагов n , логарифмический масштаб по оси Oy .

Сравнение подходов. Время решения задачи в зависимости от количества точек n

Вывод:

- Чем выше порядок метода, тем дольше решается задача
- Симплектический метод Эйлера работает быстрее, при этом даёт результат лучше, чем трудоемкий метод Рунге-Кутты или Адамса-Башфорта

Приложение для анимации трёхмерного движения тела-точки

Разработано в рамках ВКР на языке Java.

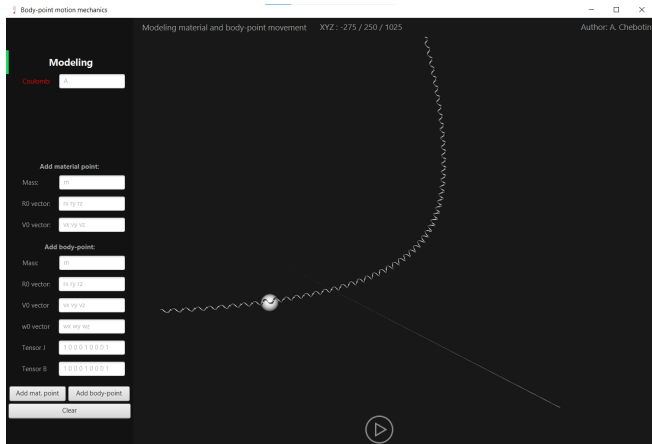


Рис 8. Пользовательский интерфейс приложения

- Анимация трёхмерного движения тела-точки
- Параллельная анимация: можно задать произвольное количество тел-точек и оследить их траектории
- Объектно-ориентированный стиль программы,

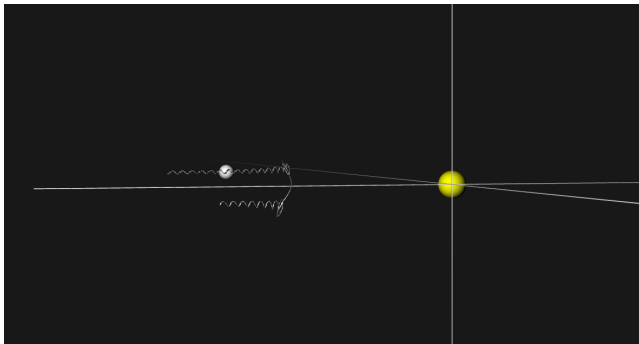


Рис 9. Кадр из анимации движения тела-точки

Некоторые траектории тела-точки

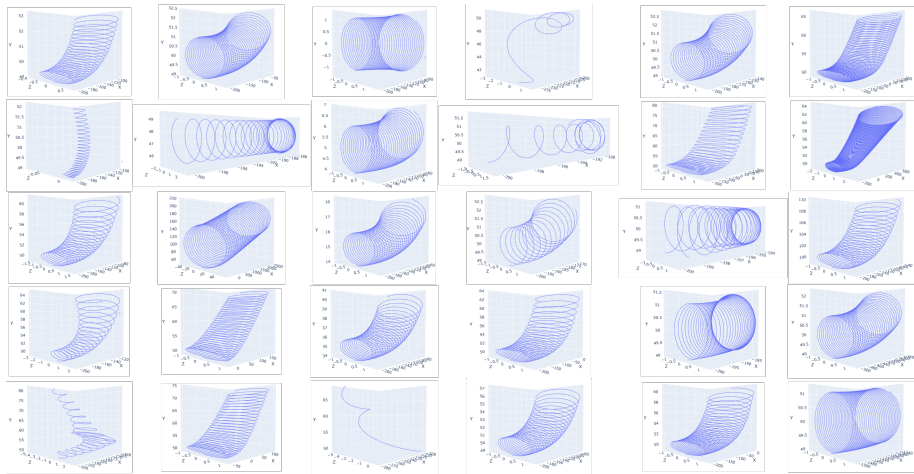


Рис 10. Набор траекторий при различных параметрах

- Разработано приложение, включающее пакет программ численных методов и реализацию анимации трехмерного движения тела-точки. Функционал приложения этим не ограничивается.
- Все методы исследованы и сравнены, построены различные зависимости.
- Исходя из зависимостей, составлены различные рекомендации по применению численных схем при решении задачи о движении тела-точки в кулоновском поле.

Спасибо за внимание!